

ные моменты времени, синхронизованные с выбранной фазой колебаний. При этом яркость полос практически не зависит от амплитуды.

**Контуры рельефа.** Методы Г. и. позволяют получить голограммич. контурную карту на изображении поверхности трёхмерного объекта или его мнимого изображения. Каждый контур — геометрич. место точек поверхности с постоянной высотой  $h$  над фиксированной

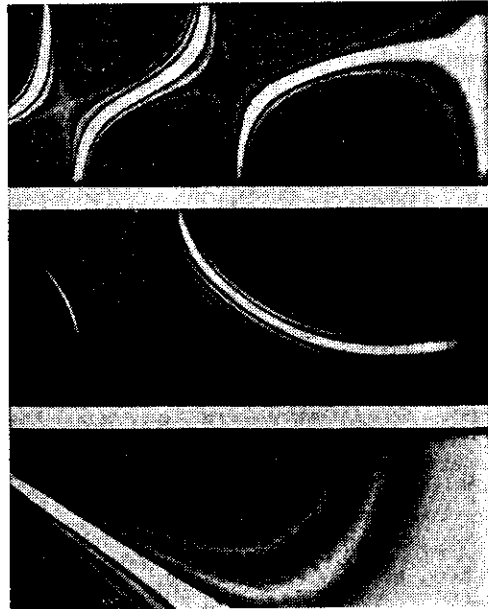


Рис. 2. Голограммические интерферограммы вибрирующей на разных частотах турбинной лопатки.

плоскостью. Контуры рельефа получают двухдлинноволновым или иммерсионным методом либо методом двух источников. В первом случае запись голограммы исследуемой поверхности осуществляется в свете двухчастотного источника. Исследуемая поверхность оказывается покрытой полосами равной высоты, причём

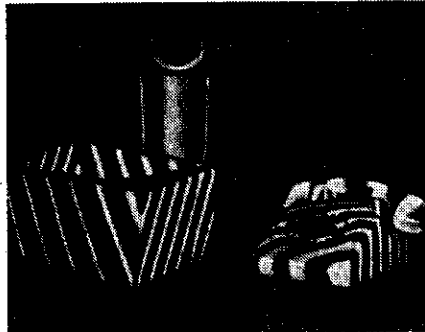


Рис. 3. Голограммические контуры рельефа (двухдлинноволновый метод,  $\Delta\lambda=1,8 \text{ \AA}$ ,  $\Delta h=23 \text{ мм}$ ).

цена одной полосы (изменение высоты)  $\Delta h$ , соответствующая переходу от одной полосы к другой (рис. 3), равна

$$\Delta h = \lambda^2 / \Delta \lambda.$$

В иммерсионном методе исследуемая деталь погружается в кювету с плоским окном и голограмма экспонируется дважды при изменении показателя преломления  $n$  иммерсионной жидкости или газа. При этом цена полосы

$$\Delta h = \lambda / 2 \Delta n.$$

В методе двух источников голограмму также экспонируют дважды при изменении направления ( $\Delta\alpha$ ) пучка, освещавшего объект. В этом случае

$$\Delta h = \lambda / 2 \sin (\Delta\alpha / 2).$$

Возможно также непосредственное сравнение контуров рельефа исследуемой и эталонной поверхностей.

**Голограммическая дефектоскопия.** Регулярная интерференционная картина, образованная при «нагружении» исследуемой детали, искажается в дефектных местах (трещины, раковины, непреклеенные участки многослойных конструкций). Напр., в случае трещины интерференц. полосы на разл. её «берегах» испытывают излом или сдвиг. Нагружение исследуемой детали при Г. и. дефектов может быть статическим или вибрационным. Иногда деталь подвергают локальному нагреву или охлаждению.

**Фазовые объекты** (ударные волны в газах и в жидкостях, пламёна, взрывы, плазма) исследуют, просвечивая их объективным пучком. Г. и. позволяет изучать пространство. распределение показателя преломления  $n$ , к-рое, в свою очередь, однозначно связано с пространств. распределением концентрации атомов, молекул и электронов в исследуемом объёме. В случае фазовых объектов чувствительность методов Г. и. может быть увеличена за счёт нелинейной записи голограмм и восстановления волн высших порядков. Чувствительность увеличивается также при использовании излучения с длиной волны, близкой к резонансным линиям атомов и ионов, и за счёт многократного прохождения света через объект.

Лит.: Островский Ю. И., Голограмма и ее применение, Л., 1973; Колльер Р., Беркхарт К., Лин Л., Оптическая голограмма, пер. с англ., М., 1973; Островский Ю. И., Бутусов М. М., Островская Г. В., Голограммическая интерферометрия, М., 1977; Голограммическая интерферометрия фазовых объектов, под ред. Г. И. Мишина, Л., 1979; Голограммические неразрушающие исследования, под ред. Р. К. Эрфа, пер. с англ., М., 1979; Гинзбург В. М., Сепанов Б. М., Голограммические измерения, М., 1981; Бест Ч., Голограммическая интерферометрия, пер. с англ., М., 1982; Оптическая голограмма, под ред. Г. Колфилда, пер. с англ., т. 1—2, М., 1982; Шуман В., Дюбас М., Анализ деформаций непрозрачных объектов методом голограммической интерферометрии, пер. с англ., Л., 1983; Островская Г. В., Островский Ю. И., Holographic methods of plasma diagnostics, «Progress in Optics», 1985, v. 22.

Ю. И. Островский.

**ГОЛОГРАФИЧЕСКОЕ РАСПОЗНАВАНИЕ ОБРАЗОВ** — отнесение изображения (или его части) к одному из заранее определённых классов, напр. опознавание и указание координат буквы (или сочетания букв) на странице текста. Для решения задач этого типа предъявленное изображение сравнивается с эталонным, причём сравнение производится на основе вычисления ф-ции взаимной корреляции:

$$K(\xi, \eta) = \iint_A f(x, y) S(x - \xi, y - \eta) dx dy, \quad (1)$$

где  $f(x, y)$  — распределение освещённости (или яркости) в предъявленном изображении;  $S(x, y)$  — распределение освещённости, характеризующее эталонное изображение;  $\xi, \eta$  — координаты взаимного сдвига;  $A$  — область существования ф-ций  $f$  и  $S$ . Величина максимума  $K(\xi, \eta)$  определяет степень сходства между  $f(x, y)$  и  $S(x, y)$ , а положение максимума указывает положение той области на  $f(x, y)$ , к-рая наиболее близка по структуре к  $S(x, y)$ . Фиксируется такое значение максимума  $K(\xi, \eta)$ , начиная с к-рого система выдаёт сигнал: «изображение  $S'(x, y)$  содержится в  $f(x, y)$ ».

Вычисление ф-ции взаимной корреляции двух изображений осуществляется средствами дискретной вычислительной техники, аналоговыми (или цифроаналоговыми) методами когерентной оптики и голограмм. Наиб. употребительны 2 схемы голограммич. корреляторов. Одна из них предложена К. Вандер Лугт (K. Vander Lugt) (рис. 1). Пусть в плоскости  $P_1$  помещён